

تحلیل فروریختگی پوسته‌های تقویت شده از طریق آزمون مدل، بررسی نتایج به کمک نرم‌افزارهای اجزای محدود و استفاده از آن برای بدنه فشار زیردریایی

احمد رضا صفری*، مصطفی غیور** و عبدالرضا کبیری*
دانشکده مهندسی مکانیک، دانشگاه صنعتی اصفهان
پژوهشکده زیرسطحی اصفهان

(دریافت مقاله: ۸۲/۸/۷ - دریافت نسخه نهایی: ۸۵/۵/۳)

چکیده - تجربه نشان داده است در عمل به دلیل تأثیر عوامل مختلف، رسیدن به فشار کمانش کلاسیک ناممکن است. این امر، نشان دهنده لزوم استفاده از نظریه‌های غیرخطی و در نظر گرفتن عوامل مختلف مؤثر بر کمانش مانند نقص شکل و جوش در تحلیل کمانش است. آنچه که در این تحقیق صورت گرفته، ساخت مدلی است که تا حد امکان نزدیک به انحرافات استاندارد باشد، سپس کمانش مدلها تحت فشار هیدرواستاتیک هم به صورت تجربی و هم به صورت عددی با استفاده از نرم‌افزارهای اجزای محدود ANSYS، ADINA، COSMOS و MARC و با توجه به تواناییهای خاص هریک بررسی شده است. نتایج نشان می‌دهند با در نظر گرفتن غیرخطیهای هندسی و ماده‌ای و نیز وارد کردن اثر نقص شکلها می‌توان به تقریب قابل قبولی از بار کمانش واقعی دست یافت. با توجه به نتایج حاصله، بدنه فشار یک زیردریایی نمونه نیز تحلیل شده است.

واژگان کلیدی: کمانش - فروریختگی - نقص شکل - آزمون - روش اجزای محدود

Theoretical and Experimental Collapse Analysis of Ring Stiffened Shells Using Finite Element Software Packages and Application of Results to a Submarine Pressure Hull

A. R. Safari, M. Ghayour, and A. Kabiri

Department of Mechanical Engineering, Isfahan University of Technology
Isfahan Underwater Technology Research Center

Abstract: *It is empirically established that, due to a number of factors involved, a classical (linear) analysis of buckling pressure is impossible. Nonlinear theories of buckling are, therefore, required that involve effective factors such as imperfections and welding effects. In this study, models are developed which are as close to allowable standard deviations as possible. In the next stage, their buckling behavior is investigated both experimentally and numerically using finite element packages ADINA, ANSYS, COSMOS, and MARC based on specific capabilities of each. Results show that reasonable estimates of real buckling pressure will become possible when material and geometrical nonlinearities and initial imperfections are introduced into the analytical system. Finally, in the light of the results obtained, a submarine pressure hull is analyzed.*

Keywords: *Buckling, Collapse, Imperfection, Test, Finite element method.*

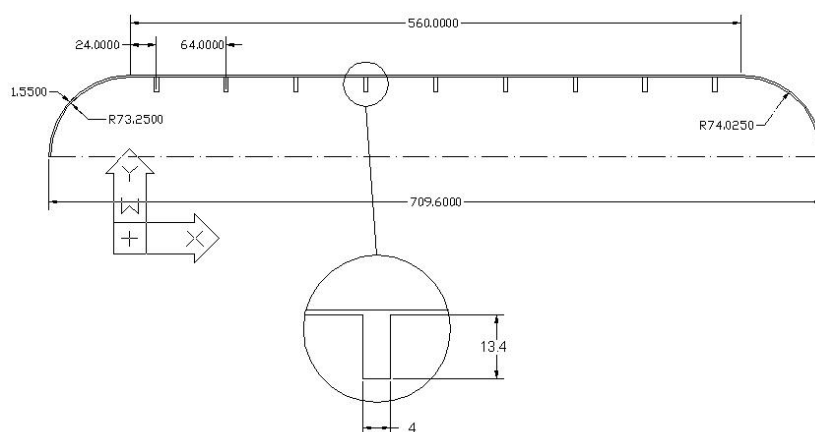
فهرست علائم

تعداد برآمدگیهای محیطی در کمانش	n	شعاع متوسط پوسته	a
فشار فروریختگی استوانه	P_c	مدول یانگ	E
فشار کمانش کلاسیک	P_{cr}	ضخامت پوسته	h
فشار کمانش کلاسیک استوانه	P_m	ممان دوم سطح مقطع مؤثر تقویت حول محور خشی	I_c
فشار کمانش کلاسیک استوانه تقویت شده	P_n	طول پوسته مابین تقویتها	L
فشار تسلیم محیطی استوانه	P_y	فاصله مراکز تقویتها	L_f
ضریب پواسون	μ	طول کلی مؤثر پوسته	L_b

۱- مقدمه

استوانه‌ای، مخروطی و کمانش کلی^۲ به دست آمده [۲] با نتایج نرم‌افزار اختلاف محدود BOSOR حکایت از صحت این روابط در تخمین کمانش کلاسیک مخازن تحت فشار خارجی دارد [۳]. تنوع عوامل مؤثر بر کمانش به خصوص عوامل بسیار مهمی مانند وجود نقص شکل^۳ و جوش در سازه و از طرفی اثرات غیرخطی آنها سبب شده کمانش عملاً پدیده‌ای غیرخطی بوده و تفاوت زیادی بین نتایج نظری و عملی ایجاد شود. از این رو در سالهای اخیر عمدتاً گرایش به سمت تصحیح نتایج حاصل از نظریه‌های ساده فوق به کمک نتایج تجربی بوده است [۴]. به علاوه با گسترش روزافزون روشهای عددی استفاده از

تحلیل ناپایداری^۱ سازه‌ها قدمت چند صد ساله دارد. کمانش ستون تحت فشار محوری پدیده‌ای است که تقریباً تمام دانشجویان مهندسی مکانیک و عمران با آن آشنا هستند و برای نخستین بار توسط لئونارد اویلر در حدود ۲۵۰ سال پیش به شکل ریاضی تدوین شد [۱]. برای انواع موده‌های کمانش در پوسته‌های مختلف اعم از استوانه‌ای، مخروطی و کروی تحلیل‌های کمانش متنوعی برای کمانشهای خطی و غیرخطی صورت گرفته است. مقایسه نتایجی که به عنوان مثال توسط فون‌میز، نایردسون و برایانت برای کمانش کلاسیک پوسته‌های



شکل ۱- ابعاد و شکل مدل مورد استفاده

$E = 69 \times 10^3 \text{ Mpa}$	مدول الاستیک
$\mu = 0.33$	ضریب پواسون
$\sigma_y = 50 \text{ Mpa}$	استحکام تسلیم
$E_T = 166 \text{ Mpa}$	مدول کارسختی
$\sigma_u = 88 \text{ Mpa}$	استحکام نهایی

حاصله به این صورت اند:

۳- کمانش کلاسیک مدل

برای بررسی کمانش الاستیک خطی پوسته مابین تقویتها^۴ و کمانش کلی مدل می توان از معادلات ویندنبیرگ و برابانت استفاده کرد. طبق این معادلات فشار کمانش کلاسیک پوسته استوانه ای مابین تقویتها برابر خواهد بود با [۷]:

$$P_m = \frac{2.42E}{(1-\mu^2)^{3/4}} \left[\frac{(h/2a)^{5/2}}{L/2a - 0.45(h/2a)^{1/2}} \right] \quad (1)$$

همچنین فشار کمانش کلی را نیز می توان از معادله زیر به دست آورد:

$$P_n = (Eh/a)\lambda^4 / (n^2 - 1 + \lambda^2 / 2)(n^2 + \lambda^2)^2 + (n^2 - 1)EI_c / a^3 L_f \quad (2)$$

$$\lambda = \frac{\pi a}{L_b}$$

در این معادله بایستی P_n حداقل را برحسب n به دست آورد. در تحلیل کمانش خطی اگرچه مدل متقارن محوری بوده و

برنامه های اجزای محدود برای تحلیل کمانش خطی و غیرخطی سازه ها بسیار رایج شده است [۵].

در این تحقیق چند مدل بر حسب استاندارد BS و تا حد امکان طبق فرایندی که در طراحی بدنه فشار زیر دریایی دنبال می شود ساخته شده و سپس آزمون کمانش شده اند [۶]، پس از آن سعی شده است به کمک نرم افزارهای اجزای محدود ANSYS، ADINA، COSMOS، MARC و با توجه به قابلیت های ویژه ای که هر کدام از آنها دارند تحلیل دقیقی از فروریختگی^۴ مدلها به دست آید. نتایج حاصله نشان می دهند می توان با وارد کردن اثرات غیرخطی شامل تغییرشکلهای بزرگ^۵، تغییرشکلهای پلاستیک^۶، انحرافات هندسی، اثرات نورد و اثرات جوش، علی رغم پیچیدگی و غیرخطی بودن کمانش، برآورد مناسبی از آن به دست آورد و بنابراین سازه های پیچیده تری مانند بدنه فشار زیر دریایی را نیز به شکل مناسبی تحلیل کرد [۷].

۲- ساخت مدل

در شکل (۱) هندسه و ابعاد مدل ساخته شده نشان داده شده است. تقویتها از جنس آلیاژ A 1 6061 هستند همچنین پوسته استوانه ای از آلیاژ آلومینیم آنیل شده گروه 1000 به دست آمده است. طبق نتایج حاصل از آزمونهای کشش نمونه هایی که مطابق استاندارد ASME ساخته شده اند، رفتار این آلیاژ را می توان به صورت الاستوپلاستیک کامل^۷ در نظر گرفت. خواص

جدول ۱- دو روش تحلیل مدل در COSMOS

شماره مود	روش اول (Mpa)	روش دوم (Mpa)
۱	۰/۶۴۵۸	۶/۴۲e-۵
۲	۵/۴۶e-۷	۳/۷۴e-۶
۳	۲۳/۰۲۵	۱۵/۱۲۶
۴	۳۰/۵۱۲	۲۳/۶۴۶
۵	۱۷/۲۲۸	۱۳/۹۶۲
۶	۹/۹۶۹	۸/۴۳۳
۷	۷/۱۷۶	۶/۰۹۹
۸	۶/۳۵۹	۵/۵۴۲
۱۰	۷/۰۲۸	۶/۴۷۴
۱۱	۷/۹۰۲	۷/۴۱۶
۱۲	۸/۹۸۹	۸/۶۵۳
۱۳	۱۰/۳۶۴	۹/۸۹۹

در نرم افزارهایی مانند ADINA است که تقویتها به کمک المانهای تیر مدل می شوند. در روش دوم تقویتها با استفاده از المانهای صفحه ای متقارن محوری مدل شده اند، در این روش به دلیل آنکه اتصال تقویت با پوسته به صورت لولایی اند نتایج حاصله با نتایج روابط نظری ویندبرگ و برایانت قابل مقایسه است. در این جدول دو سطر اول مودهای صلب اند. در نتایج هر کدام از روشها دو افت موضعی دیده می شود: افت اول در سطر سوم مربوط به مود کمانش کلی پوسته و $n=2$ است و افت دوم در سطر هشتم مربوط به مود کمانش موضعی پوسته و $n=7$ است.

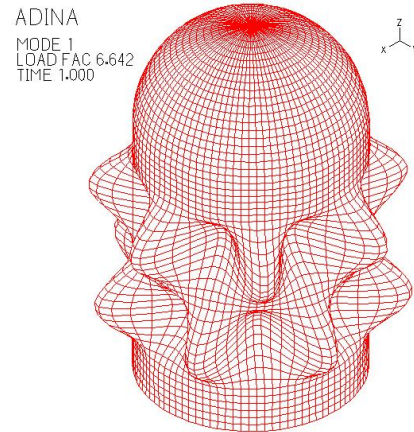
در جدول (۲) نتایج حاصل از روش دوم تحلیل در COSMOS با نتایج حاصل از نظریه مقایسه شده است. شماره های داخل پرانتز شماره مود کمانش اند. مشخص است که مود بحرانی کمانش مود موضعی آن است. از تحلیل کمانش کلاسیک مدل در نرم افزار ADINA فشار کمانش $6/64$ مگاپاسکال و $n=7$ به دست آمده است که مشابه مقدار به دست آمده برای کمانش موضعی پوسته در سطر هشتم از روش اول جدول (۱) است. این مود کمانش در شکل (۲) نشان داده شده

تحت بارگذاری متقارن محوری است ولی لزوماً مودهای کمانش آن تقارن محوری ندارند بنابراین بهترین نرم افزار برای تحلیل چنین سازه ای نرم افزاری است که بتواند به ازای مدل متقارن محوری مودهای کمانش متقارن و نامتقارن را نتیجه دهد. از بین نرم افزارهایی که در این تحقیق استفاده شده اند، برنامه های COSMOS و MARC این امکان را دارند. در نرم افزار COSMOS این کار بسیار ساده تر صورت می پذیرد، در این نرم افزار از المان دو گره ای جدار نازک الاستیک استفاده می شود بنابراین تنها اثرات غشایی و خمشی وارد می شوند و این المان برش را در نظر نمی گیرد، علی رغم مدلسازی دو بعدی شکل کمانش را می توان به صورت سه بعدی مشاهده نمود، به خصوص در این نرم افزار برای مسائلی که در تعادل استاتیکی اند نیازی به مقید کردن سازه نیست.

در جدول (۱) نتایج دو روش تحلیل مقایسه شده اند. در روش اول تقویتها با المانهای پوسته ای مدل شده اند، این روش به خصوص برای بررسی امکان کمانش در تقویتها مفید بوده و نتایج آن قابل مقایسه با نتایج حاصل از تحلیل سه بعدی مدل



شکل ۳- مدل فروریخته پس از آزمون



شکل ۲- مود کمانش کلاسیک مدل در ADINA

جدول ۲- نتایج کمانش کلاسیک مدل و نظری (Mpa)

کمانش موضعی	کمانش کلی	روش تحلیل
۵/۳ (۷)	۱۴/۷۶ (۲)	نظری (BS)
۵/۵۴ (۷)	۱۵/۱۳ (۲)	COSMOS

سکانت در تحلیل کمانش خطی در نرم افزار ADINA است. با استفاده از روش سکانت در ADINA مقدار بار کمانش $6/43$ مگاپاسکال به دست می آید که در مقایسه با مقدار کلاسیک $6/64$ نشان می دهد تغییرشکل های بزرگ اثر چندانی در کاهش بار کمانش مدلها نداشته اند.

است. در شکل (۳) نیز مدل فروریخته پس از آزمون نشان داده شده است.

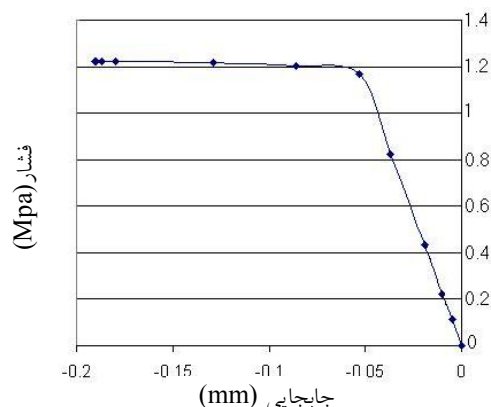
۴- بررسی عوامل مختلف مؤثر بر کمانش

۴-۱- اثر غیرخطیهای هندسی^۹

مرحله دوم از تحلیل در نظر گرفتن اثر تغییرشکل های بزرگ در کمانش مدل است. برای این منظور اگرچه می توان از تحلیل مرحله به مرحله^{۱۰} الاستیک غیرخطی استفاده کرد ولی در نرم افزار MARC در تحلیل کمانش خطی می توان گزینه ای را برای منظور کردن جابه جاییهای بزرگ فعال کرد، با این کار در تحلیل از تانسور کرنش گرین-لاگرانژ و تانسور تنش دوم پایولا-کرشلف استفاده می شود. بنابراین در تحلیل کمانش تا حد زیادی اثر تغییرشکل های بزرگ منظور می شود و می توان توسط آن و مقایسه نتایج با نتایج حاصل از تحلیل کمانش کلاسیک که در غیاب فعال کردن این گزینه به دست می آید میزان حساسیت سازه نسبت به غیرخطیهای هندسی را مشخص کرد. تحلیلها نشان می دهند این روش مشابه استفاده از روش

۴-۲- اثر غیرخطیهای ماده ای^{۱۱}

در مرحله سوم از تحلیل، اثر غیرخطیهای ماده ای بررسی می شود. یعنی بر روی مدل بدون نقص شکل، تحلیل فروریختگی غیرخطی با در نظر گرفتن ماده الاستوپلاستیک دوخطی صورت خواهد گرفت. این نوع کمانش برحسب رسم منحنی بار-تغییرشکل و به دست آوردن نقطه شروع تغییرشکل های بزرگ در آن است. برای مدل مورد آزمایش این منحنی در شکل (۴) رسم شده است. مطابق این منحنی فشار فروریختگی حدود $1/21$ مگاپاسکال به دست می آید. با استفاده از مدل متقارن محوری مقدار بار فروریختگی $1/17$ مگاپاسکال به دست آمده که حکایت از دقت مدل سه بعدی برای تحلیل مرحله بعد دارد.



شکل ۴- نمودار بار-تغییر شکل فروریختگی متقارن محوری مدل

جدول ۳- مقایسه نتایج فروریختگی متقارن محوری مدل

بار فروریختگی (Mpa)	نوع تحلیل
۱/۱۷	مدل متقارن محوری
۱/۲۱	مدل سه بعدی
۱/۱۴	منحنی متوسط BS

در نظر گرفتن غیرخطیهای هندسی و ماده‌ای و منظور کردن اثر نقص شکل است. برای اندازه‌گیری انحرافات می‌توان از شابلون و یا بستن مدل روی دستگاه تراش و اندازه‌گیری به کمک ساعت اندیکاتوری استفاده کرد. در این تحقیق از روش دوم استفاده کرده‌ایم. مطابق استاندارد BS برای مدل‌هایی که به این نحو اندازه‌گیری شده‌اند، تصحیح اندازه‌گیریهای شعاعی به ازای شعاع متوسط و خطا در منطبق کردن محور استوانه با محور دستگاه است. در این روش، در هر مقطع تعیین دایره متوسطی که از ۲۴ نقطه محیطی می‌گذرد و سپس تعیین انحرافات نقاط نسبت به آن مستقل از سایر مقاطع است [۷].

حداکثر انحراف در مدل اول ۰/۳۴ میلی‌متر و در مدل دوم حدود ۰/۳۳ میلی‌متر بوده است که در محدوده انحرافات مجاز BS (۰/۰۰۵ شعاع) است.

از بهترین روشها برای مدل کردن انحرافات آن است که آن را به شکل مود کمانش بحرانی در نظر بگیریم. بنابراین برای در نظر گرفتن اثر انحرافات هندسی در فروریختگی مدل، در

این مقدار را می‌توان با نتیجه حاصل از استاندارد BS مقایسه کرد. این افت شدید فشار کمانش نسبت به مقدار کلاسیک نشان می‌دهد در این مدل اثر عمده بر روی بار کمانش ناشی از غیرخطیهای ماده‌ای و وارد شدن به ناحیه پلاستیک است. در استاندارد BS برای برآورد فشار کمانش پوسته استوانه‌ای از نتایج تجربی استفاده می‌شود [۸]. در این استاندارد نمودار حد پایینی نتایج تجربی را می‌توان از معادله زیر به دست آورد:

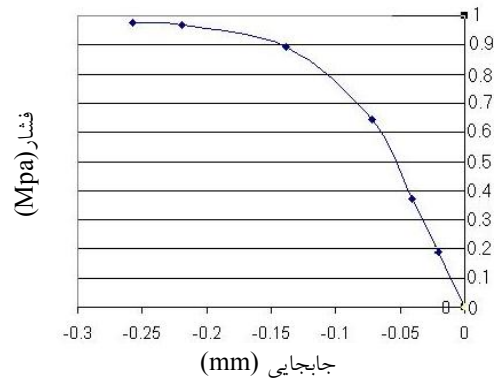
$$P_c / P_y = \begin{cases} 1 - P_y / 2P_m & P_m / P_y \geq 1 \\ P_m / 2P_y & P_m / P_y \leq 1 \end{cases} \quad (3)$$

P_m فشار کمانش کلاسیک، P_y فشار تسلیم پوسته در جهت محیطی و P_c فشار فروریختگی پوسته‌اند.

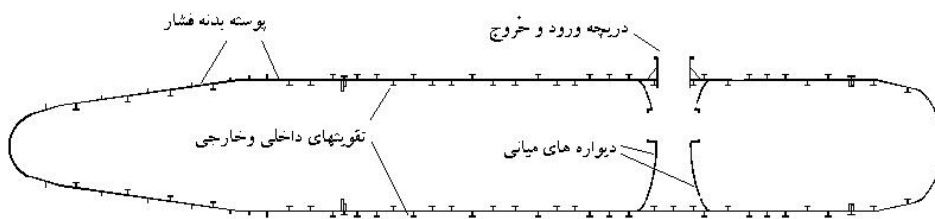
نمودار مقدار متوسط در شکل مربوطه حدود ۰/۱۷ بالاتر واقع می‌شود. در جدول (۳) که نتایج مقایسه شده‌اند این مقدار تصحیح شده است بنابراین مقدار مربوط به BS مقدار متوسط است.

۴-۳- اثر نقص شکلها

مرحله نهایی در تحلیل، تحلیل فروریختگی غیرخطی با



شکل ۵- نمودار بار-تغییر شکل حاصل از تحلیل مدل در ADINA



شکل ۶- مقطع عمودی بدنه فشار زیر دریایی

جدول ۴- مقایسه نتایج تحلیل‌های عددی غیرخطی مدل و نتایج حاصل از تست (Mpa)

شماره مدل	فروریختگی غیرخطی مدل با اثر نقص شکل ADINA	فروریختگی غیرخطی مدل با اثر نقص شکل ANSYS	آزمون
۱	۰/۹۸ (۷)	۱/۰۹ (موضعی)	۰/۷۹ (۶)
۲	۰/۹۸ (۷)	۱/۱۱ (موضعی)	۰/۷۲ (۶)

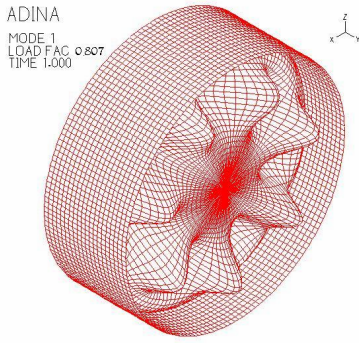
به دست آمده است که در مجموع در حدود ۳۰٪ خطا دارد. با توجه به اینکه چنین مقدار خطایی با توجه به اثرات جوشها منطقی است می‌توان مطمئن بود با در نظر گرفتن تنشهای ناشی از جوشها می‌توان به برآورد دقیقتری از بار کمانش واقعی دست یافت. در شکل (۳) تصویر مدل فروریخته پس از آزمون نشان داده شده است.

۵- تحلیل کمانش بدنه فشار زیر دریایی^{۱۲}

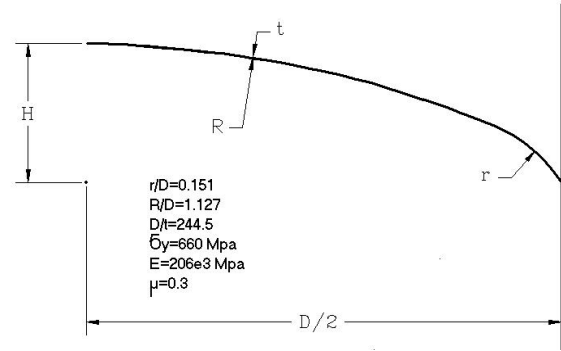
در شکل (۶) مقطع طولی از بدنه فشار یک زیر دریایی نمونه نشان داده شده است. مطالعات اولیه بر روی کمانش کلاسیک چنین پوسته‌ای توسط نرم‌افزار COSMOS نشان داده است

نرم‌افزار ADINA که امکان چنین تحلیلی را دارد، بر روی پوسته نقص‌شکلی به صورت مود کمانش کلاسیک (نظیر $n=7$) اعمال و بر روی آن تحلیل فروریختگی الاستوپلاستیک صورت می‌گیرد. در شکل (۵) منحنی بار-تغییر شکل چنین تحلیلی نشان داده شده است.

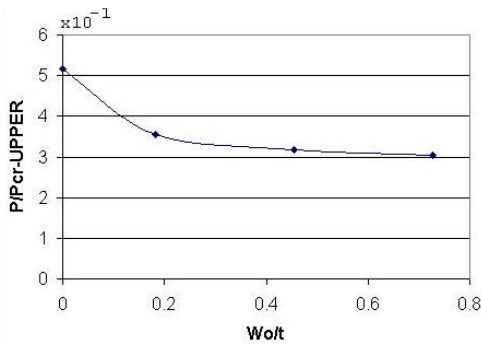
در جدول (۴) برای دو مدل مورد استفاده نتایج حاصل از تحلیل‌های غیرخطی و آزمون مقایسه شده‌اند. اعداد داخل پرانتز شماره مود کمانش می‌باشند. در تحلیل به کمک ANSYS مدلها به همان شکلی که در اندازه‌گیریها به دست آمده و به همراه نقص‌شکلهای مربوطه شبیه‌سازی و تحلیل شده‌اند. مطابق این جدول تا این مرحله از تحلیل بهترین نتایج از نرم‌افزار ADINA



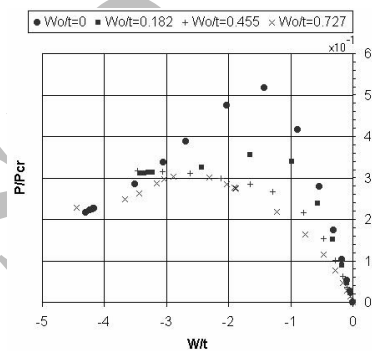
شکل ۸- مود کماتش کلاسیک دیواره



شکل ۷- ابعاد دیواره



شکل ۱۰- منحنی حساسیت به نقص شکل دیواره



شکل ۹- نمودارهای بار-تغییر شکل بازای انحرافهای مختلف

ج) تحلیل فروریختگی الاستوپلاستیک متقارن محوری با در نظر گرفتن غیرخطیهای هندسی و ماده‌ای. منحنی حاصل از این تحلیل مطابق شکل (۹) ($Wo/t=0$) و بار کماتش حاصله 0.518 است. مقایسه این نتیجه با بند (ب) نشان می‌دهد تغییرشکل‌های پلاستیک اثر زیادی نداشته‌اند. این مقدار بازای فروریختگی مدل متقارن محوری 0.503 به دست آمده که حاکی از دقت مدل سه‌بعدی است.

د) تحلیل فروریختگی غیرخطی مطابق بند (ج) با منظور کرد نقص شکلها. برای این منظور از نقص شکلی به صورت مود کماتش کلاسیک و با ارتفاعی به اندازه انحرافات هندسی دیواره استفاده شده است. منحنی بار-تغییر شکل در شکل (۹) و منحنی حساسیت به نقص شکل بر حسب پارامترهای بدون بعد در شکل (۱۰) ارایه شده‌اند. در شکل (۹)، فشار فروریختگی، P_{cr} فشار کماتش کلاسیک مدل، W تغییر شکل و t ضخامت پوسته‌اند. از این شکل مقدار فشار کماتش P_{cr}^{Lower} (نقطه

بحرانی ترین موضع از لحاظ کماتش، دیواره‌ها^{۱۳} هستند لذا تحلیل‌های دقیقتر را بر روی این بخش متمرکز خواهیم کرد. در شکل (۷) مدل بدون بعد دیواره نشان داده شده است. فشارهای کماتش و فروریختگی نیز نسبت به فشار کماتش کلاسیک کره بدون بعد شده‌اند. رفتار ماده مورد استفاده در دیواره، الاستوپلاستیک کامل در نظر گرفته شده است. در بررسی کماتش دیواره نیز مطابق روشی که برای مدل‌های آزمون شده ارائه شد عمل خواهیم کرد. مراحل زیر در نرم‌افزار ADINA انجام شده‌اند:

الف) تحلیل کماتش کلاسیک: فشار کماتش حاصل از این تحلیل 0.807 و شکل مود آن مطابق شکل (۸) بوده است.
ب) تحلیل کماتش به روش سکانت: این تحلیل منجر به فشار کماتش 0.582 شده که نشان می‌دهد تغییرشکل‌های بزرگ اثر قابل توجهی در بار کماتش دارد. با توجه به عمق کم دیواره این رفتار مورد انتظار بود.

- تحلیل کماتش خطی با در نظر گرفتن اثر تغییرشکل‌های بزرگ به کمک MARC و یا ADINA.
 - تحلیل فروریختگی غیرخطی با در نظر گرفتن تغییرشکل‌های بزرگ و رفتار پلاستیک (غیرخطی‌های ماده‌ای). این مرحله معیاری از حساسیت پوسته به اثرات پلاستیک است.
 - تحلیل فروریختگی مطابق بند (۳) با وارد کردن اثر نقص‌شکلها. به کمک نرم‌افزار ADINA.
 - وارد کردن سایر انحرافات مانند اثر نورد پوسته و به خصوص جوشها..
- با طی گامهای فوق می‌توان برآورد خوبی از مقدار بار کماتش به دست آورد.. این مراحل (به استثنای مرحله پنجم که معمولاً در طراحی وارد نمی‌شود) برای مدل‌های تست شده، انجام شد.

قدردانی

با توجه به عدم وجود تجربه در زمینه تحلیل فروریزش غیرخطی بدنه فشار زیردریاییها با در نظر گرفتن اثر نقص‌شکل در آن و از طرفی نیاز به کسب تخصص در این زمینه، این پروژه در سال ۱۳۷۹ بنابه درخواست پژوهشکده زیرسطحی شاهین شهر آغاز شد که به دلیل عدم دسترسی به مراکز تخصصی خاص، ساخت، آزمون و تحلیل مدلها در حدود دو سال به طول انجامید. در این فاصله افراد بسیاری در قسمتهای مختلف کار به ما یاری رساندند که در اینجا از همه آنها تشکر می‌شود.

پایینی نمودار بار-تغییرشکل پس از نقطه فروریختگی) حدود ۰/۲ مقدار کماتش کلاسیک کره به دست آمده است. این مقدار توسط تامسون به صورت معادله زیر به دست آمده که حدود ۰/۲۳۲ برابر مقدار فشار کماتش کلاسیک کره است [۷]:

$$P_{cr}^{Lower} = 0.283E \frac{h^2}{a^2} \quad (۴)$$

در شکل (۱۰) نیز مشخص است که به ازای انحرافات بیش از ۰/۸ ضخامت، اثر آن تقریباً ثابت می‌شود و مقدار حد پایینی برای بار فروریختگی به دست می‌آید که حدود 0.3P_{cr} است. این رفتار کاملاً مشابه رفتار کلاسیک کلورپر است [۷].

۶- نتایج

در بین عوامل مختلف مؤثر بر بار کماتش پنج عامل از مهمترین آنها به حساب آورده شد که عبارت‌اند از: تغییرشکل‌های بزرگ (غیرخطی‌های هندسی)، تغییرشکل پلاستیک پوسته و یا تقویتها، نقص‌شکل در پوسته و یا تقویت، انحرافاتی که در اثر جوش پوسته و تقویتها در شکل هندسی پوسته و میدان تنش آن ایجاد می‌شود. در آخر اثراتی است که نورد سرد یا گرم پوسته بر روی خواص آن می‌گذارد.

با وارد کردن پنج اثر فوق در روش اجزای محدود می‌توان تقریب مناسبی از بار کماتش واقعی به دست آورد. با توجه به نتایج حاصله می‌توان گفت گامهایی که برای رسیدن به پاسخی دقیق لازم است عبارت‌اند از:

- تحلیل کماتش کلاسیک برای برآورد مواضع بحرانی به کمک نرم‌افزاری مانند COSMOS.

واژه نامه

- | | |
|------------------------------|-------------------------------|
| 1. instability | 8. inter stiffener buckling |
| 2. overall buckling | 9. geometrical nonlinearities |
| 3. imperfection | 10. incremental |
| 4. collapse | 11. material nonlinearities |
| 5. large displacement | 12. pressure hull |
| 6. plastic deformation | 13. bulkheads |
| 7. elastic perfectly plastic | |

مراجع

1. Guran, A., Robotik, and A., Lebedev, L. P., "Basic Concepts in the Stability Theory of Thin-Walled Structures", Internet Source, January 11, 2003.
2. Gill, S. S., *The Stress Analysis of Pressure Vessels and Pressure Vessel Components*, Pergamon Press, Oxford, 1970.
3. Smith, C. S., and Clarke, J. D., *Advances in Marine Structures*, Elsevier Applied Science Publishers, U. K., 1986.
4. Ross, C. T. F., *Design of Submarines*, University of Portsmouth, U. K., April 28, 2003.
5. Cho-Chang Liang, Ching-Yu Hsu, and Huei-Rong Tsai, "Minimum Weight Design of Submersible Pressure Hull under Hydrostatic Pressure," *Computers & Structures*, Vol. 63, No. 2, pp. 187-201, 1997.
6. کبیری، ع.، پایان نامه کارشناسی ارشد، کمانش سازه زیردریایی، ساخت مدل و تحلیل کمانش الاستیک خطی آن تحت فشار هیدرواستاتیک، دانشکده مکانیک، دانشگاه صنعتی اصفهان، ۱۳۸۲.
7. صفری، ا.، ر.، پایان نامه کارشناسی ارشد، تحلیل تئوری و تجربی فروریختگی پوسته‌های تقویت شده و استفاده از نتایج برای سازه زیردریایی به کمک نرم‌افزارهای اجزای محدود، دانشگاه صنعتی اصفهان، ۱۳۸۲.
8. BS 5500, Specification for Unfired Fusion Welded Pressure Vessels, British Standard Institution, London, 1994.

Archive of SID